

CS1-4〔I〕 2ヶ所で接合された帯板異材接合問題の解法

名古屋工業大学 学生員 加藤 誠司 住友金属工業KK 正員 上田 篤志
 名古屋工業大学 正員 長谷部 宣男 名古屋工業大学 正員 中村 卓次

【1.はじめに】 近年、新素材や複合材料の発達等により、数多くの異種材料接合部がみられるようになった。しかし、接合界面での破壊に関する解析的研究は難しい。著者らは一連の研究¹⁻³⁾で、接合部両端に剥離を有する場合の異種材料の帯形状部材の接合問題を扱ってきた。しかし、接合界面に欠陥が存在し、接合部中間から剥離が進展することも実際には起こり得る。そこで本報告では、fig.1-aのように接合部中間にも剥離を有する問題を扱う(接合部が2ヶ所)。接合部が2ヶ所になったことで境界条件式が変わり、数学的に解析が複雑となるが、一般解が得られたので以下に示す。

【2.解析手法と一般解】 fig.1-aのように接合部(BG間)が直線で、部材形状が接合線に対称である。部材Iを接合線に対し回転変換することにより、部材Iと部材IIの形状は一致し(fig.1-b)、この部材を単位円内に写像する有理写像関数 $\omega(t_j)$ は同一のものを用いることができる。これは次式のように表される。なお、添え字 $j=1, 2$ は部材I, IIを表す。

$$\omega(t_j) = \sum_{k=1}^N \frac{E_k}{\zeta_k - t_j} + E_c \quad (1)$$

複素応力関数 $\phi_j(t_j)$ を用いると、境界上での外力と変位の条件式は次式のように表される⁴⁾。

$$\text{外力: } \phi_j^+(\sigma) - \phi_j^-(\sigma) = i \int (p_{xj} + i p_{yj}) ds \quad (2)$$

$$\text{変位: } \kappa_j \phi_j^+(\sigma) + \phi_j^-(\sigma) = 2\mu_j (u_j + i v_j) \quad (3)$$

ここで、 μ_j はせん断弾性係数、 κ_j は ν_j をポアソン比とし

て平面歪状態で $3 - 4\nu_j$ 、一般化された平面応力状態で $(3 - \nu_j) / (1 + \nu_j)$ で表される。また、接合線上の点は部材IとIIで同一の座標となり、写像面(fig.1-c)でも区別する必要がないため、接合部の境界上での t_j を σ と置く。 p_{xj}, p_{yj}, u_j, v_j はfig.1-bでの外力及び変位である。

本研究では接合部が2ヶ所であるので、添え字($q=1, 2$)を用いて接合部での境界を M_q 、それ以外の境界を L_q と表す(fig.1-b, c)。外力と変位の境界条件(2), (3)を用いて、 L_q 上では2つの外力成分 p_{xj}, p_{yj} が与えられ、また、 M_q 上では部材IとIIの応力と変位とがそれぞれ連続なことから、 L_q, M_q 上の境界条件式がそれぞれ得られ⁵⁾、Riemann-Hilbert問題に帰着される。この問題の解 $\phi_j(t_j)$ は次式で与えられる。なお、添え字1は部材Iに関するものを表しており、部材IIに関する複素応力関数等は添え字1と2を入れ換えることによって表される。

$$\phi_1(t_1) = H_1(t_1) + \frac{\gamma_1 \chi_1(t_1)}{2\pi i} \int_{M_q} \frac{g_1(\sigma)}{\chi_1(\sigma)(\sigma - t_1)} d\sigma + \chi_1(t_1) P_1(t_1) \quad (4)$$

$$\chi_1(t_1) = (t_1 - \alpha_1)^{m_1} (t_1 - \beta_1)^{1-m_1} (t_1 - \alpha_2)^{m_1} (t_1 - \beta_2)^{1-m_1} \quad (5)$$

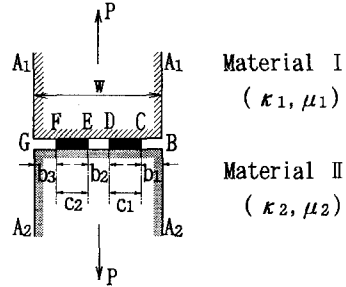


fig.1-a 実物物理面

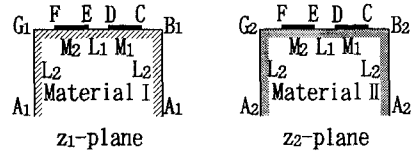


fig.1-b 仮想物理面

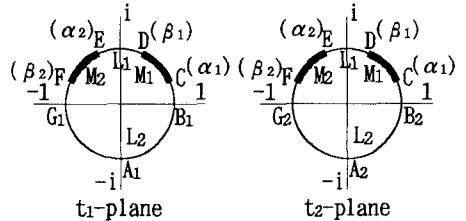


fig.1-c 写像面(単位円)

$$m_i = 0.5 + i \frac{\ln \lambda_i}{2\pi} \tag{6}$$

$$\lambda_i = \frac{\kappa_2 \mu_1 + \mu_2}{\kappa_1 \mu_2 + \mu_1} = \frac{1 - \beta_D}{1 + \beta_D} \quad \gamma_i = \frac{\mu_1 (\kappa_2 + 1)}{\kappa_1 \mu_2 + \mu_1} = \frac{1 - \alpha_D}{1 + \beta_D}$$

ここで、 $g_i(\sigma)$ 、 $P_i(t_i)$ は任意の有理関数で、複素応力関数の正則条件等から決定される⁵⁾。また、第1項の $H_i(t_i)$ は荷重項である⁵⁾。 $\alpha_1, \beta_1, \alpha_2, \beta_2$ は境界LqとMqとの接続点C, D, E, Fに対応する単位円上の座標である。なお解析に便利のため、部材I, IIの材料定数としてDundursの材料定数 α_D, β_D を用いる⁵⁾。

(4)式の未定関数等を求めて整理すると、最終的に複素応力関数 $\phi_j(t_j)$ の一般解は次式のように表される。

$$\phi_j(t_j) = H_j(t_j) + \frac{\gamma_j}{1 + \lambda_j} \left[- \sum_{k=1}^N \left\{ 1 + \frac{1 + \lambda_j - \gamma_j \chi_j(t_j)}{\gamma_j \chi_j(\xi_k)} \right\} \frac{\overline{A_{1k}} B_k}{\xi_k - t_j} + \sum_{k=1}^N \left\{ 1 - \frac{\chi_j(t_j)}{\chi_j(\xi_k)} \right\} \frac{A_{2k} \overline{B_k} \xi_k'^2}{\xi_k' - t_j} \right] \tag{7}$$

ここで、 $A_{jk} = \phi_j'(\xi_k)$ 、 $B_k = E_k / \overline{\omega'(\xi_k)}$ 、 $\xi_k' = 1 / \overline{\xi_k}$ である。

本報告では部材両端に集中引張り力Pが作用し、それ以外のLq上には外力の作用しない荷重を考える(fig. 1-a)。この場合の荷重項 $H_j(t_j)$ は次式のようになる。

$$H_j(t_j) = \frac{C_j}{2\pi i} F_{jL_1}(t_j) - \frac{P}{2\pi i} F_{jL_2}(t_j) \tag{8}$$

$$F_{jL_1}(t_j) = \chi_j(t_j) \int_{L_q} \frac{1}{\chi_j(\sigma)(\sigma - t_j)} d\sigma \tag{9}$$

なお、 C_j は境界 M_1 上の合力で、 $C_j = i \int_{M_1} (\sigma_{y_j} + i \tau_{xy_j}) ds$ で表される未定の値であるが、複素応力関数の正則条件等により決定することができる。

実際の計算においては、複素応力関数の一次導関数等を用いるため、(9)式を微分する必要があるが、このような積分の t_j に関する微分形はすでに求められている^{7, 8)}。

【3. おわりに】 (7)式で表される複素応力関数を用いることにより、部材の応力分布を得ることができる。本報告ではfig. 2に応力分布の一例を示した。接合部両端での剥離長が $b_1/w = b_2/w = 0.10$ 、接合部中間での剥離長が $b_2/w = 0.20$ 、接合部の長さが $c_1/w = c_2/w = 0.20$ と剥離状態が左右対称である場合の応力分布を示している。なお、接合線上での応力 σ_y, τ_{xy} は部材IとIIとで同じであるが、 σ_x は異なるため添え字I, IIを用いて区別し、同じ座標上に示している。

また、剥離先端での接合強度の指標である「剥離の応力の強さ(SID)^{2, 3)}」も(7)式の複素応力関数を用いて求められる。

《参考文献》 1)加藤ら, 第46回年次学術講演会講演概要集I-274(1991) 2)加藤ら, 第41回応用力学連合講演会講演予稿集333(1992)

3)加藤ら, 土木学会中部支部研究発表会講演概要集I-29(1992) 4)N.Hasebe et al., J. Eng. Mech., ASCE, 116, 12, 2722-2737(1990) 5)長谷部ら, 材料, 39, 445, 1405-1410(1990) 6)J. Dundurs, J. Composite Mater., 1, 310(1967) 7)長谷部ら, 「応力境界と変位境界を2ヶ所づつ有する平面弾性混合境界値問題の解法」土木学会論文集(掲載可) 8)N.Hasebe et al., A Mixed Boundary Value Problem for a Debonding of a Semielliptic Rigid Inclusion on the Rim of a Half Plane, Ing. Arch. (Germany)(accept)

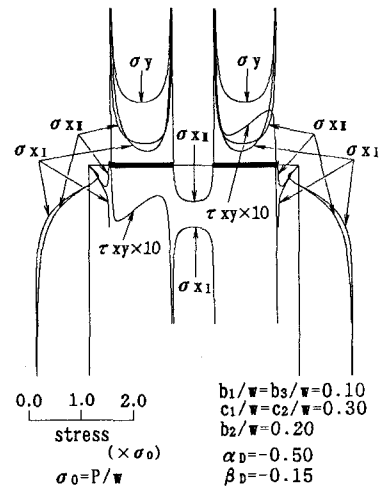


fig.2 応力分布図